

| | |
|---------------------|---|
| Zeitschrift: | Vermessung, Photogrammetrie, Kulturtechnik : VPK = Mensuration, photogrammétrie, génie rural |
| Herausgeber: | Schweizerischer Verein für Vermessung und Kulturtechnik (SVVK) = Société suisse des mensurations et améliorations foncières (SSMAF) |
| Band: | 86 (1988) |
| Heft: | 1 |
| Artikel: | Projektive Behandlung dreidimensionaler Netze der geometrischen Geodäsie |
| Autor: | Gerber, P. |
| DOI: | https://doi.org/10.5169/seals-233742 |

Nutzungsbedingungen

Die ETH-Bibliothek ist die Anbieterin der digitalisierten Zeitschriften auf E-Periodica. Sie besitzt keine Urheberrechte an den Zeitschriften und ist nicht verantwortlich für deren Inhalte. Die Rechte liegen in der Regel bei den Herausgebern beziehungsweise den externen Rechteinhabern. Das Veröffentlichen von Bildern in Print- und Online-Publikationen sowie auf Social Media-Kanälen oder Webseiten ist nur mit vorheriger Genehmigung der Rechteinhaber erlaubt. [Mehr erfahren](#)

Conditions d'utilisation

L'ETH Library est le fournisseur des revues numérisées. Elle ne détient aucun droit d'auteur sur les revues et n'est pas responsable de leur contenu. En règle générale, les droits sont détenus par les éditeurs ou les détenteurs de droits externes. La reproduction d'images dans des publications imprimées ou en ligne ainsi que sur des canaux de médias sociaux ou des sites web n'est autorisée qu'avec l'accord préalable des détenteurs des droits. [En savoir plus](#)

Terms of use

The ETH Library is the provider of the digitised journals. It does not own any copyrights to the journals and is not responsible for their content. The rights usually lie with the publishers or the external rights holders. Publishing images in print and online publications, as well as on social media channels or websites, is only permitted with the prior consent of the rights holders. [Find out more](#)

Download PDF: 25.01.2026

ETH-Bibliothek Zürich, E-Periodica, <https://www.e-periodica.ch>

Projektive Behandlung dreidimensionaler Netze der geometrischen Geodäsie

P. Gerber

Mit den globalen Punktbestimmungen durch Satelliten wird in naher Zukunft auch der lokale Bereich berührt. Die nachstehenden Ausführungen formulieren bestehende Zusammenhänge und bezeichnen die gemeinsame Berechnung und Ausgleichung geometrischer Messdaten in einem örtlichen Projektionssystem. Die Rückführung ins globale System bleibt durch eindeutige Umkehrbarkeit gewahrt.

Les déterminations de points géodésiques par satellites toucheront le plan local dans un avenir proche. Ce traité fixe les relations mathématiques permettant le calcul et la compensation de toute mesure au caractère géométrique dans un système de projection cartésien. L'inversion aux systèmes géocentriques est assurée par réversibilité acquise.

1. Transformationen geozentrischer Koordinaten unter Einhaltung der Kongruenz

Im geozentrischen Erdsystem gelten folgende Konventionen:

- pos. X-Achse:
Geozentrum – Meridian-Aequatorschnitt
S-Greenwich
- pos. Y-Achse:
Geozentrum – (90°E) Meridian-Aequatorschnitt
- pos. Z-Achse:
Geozentrum – Nordpol (Abb. 1).

Geht man der Form halber zunächst davon aus, dass diese Koordinaten allenfalls durch translativ-drehstreckende Transformation auf ein bereits vorgegebenes geodätisches Datum transformiert wurden, bestehen bekanntlich die Beziehungen

$$\begin{aligned} X &= (R+h) \cos L \cos B \\ Y &= (R+h) \sin L \cos B \\ Z &= (R+h) \sin B - R e^2 \sin B \end{aligned} \quad (1)$$

Mit der grossen Halbachse a , der kleinen Halbachse c und für

$$\begin{aligned} e^2 &= (a^2 - c^2) \cdot a^{-2}, \\ e^{l^2} &= (a^2 - c^2) \cdot c^{-2}, \\ p &= (X^2 + Y^2)^{1/2} \text{ sowie} \end{aligned}$$

$$\Theta = \operatorname{arctg} \frac{Z \cdot a}{p \cdot c}$$

ergibt sich die Umkehrung als **ellipsoidische Breite**:

$$B = \operatorname{arctg} \frac{Z + (e^l)^2 \cdot c \cdot \sin^3 \Theta}{p - (e^l)^2 \cdot a \cdot \cos^3 \Theta}$$

ellipsoidische Länge:

$$L = \operatorname{arctg} \frac{Y}{X}$$

Normalenradius im 1. Vertikal:

$$R = a (1 - e^2 \sin^2 B)^{-1/2}$$

Höhe über dem Ellipsoid:

$$h = \frac{(X^2 + Y^2)^{1/2}}{\cos B} - R$$

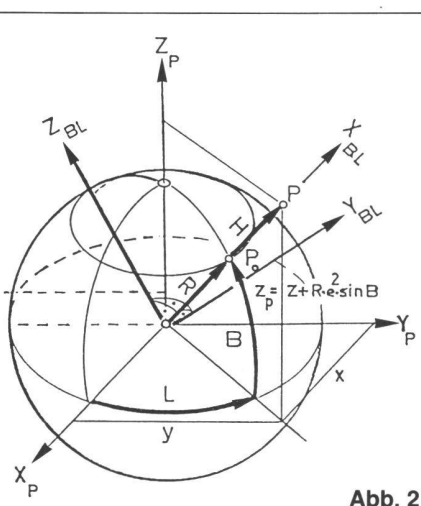


Abb. 1: Ellipsoid im globalen Erdsystem – (X, Y, Z) mit Berührungskegel (punktiert) im Parallel B

Abb. 2: Berührungskegel nach «Cassini-Soldner»: R = R_P, im parallel verschobenen Erdsystem – (X_P, Y_P, Z_P) und im gedrehten Horizontsystem – (X_{BL}, Y_{BL}, Z_{BL})

1.1 Translation auf das Kugelzentrum des Normalenradius

Wird im Projektionsursprung P₀ (B, L, R) zur polaren Berechnung eine Kugel mit dem Normalenradius gemäss (2) angenommen, die das Ellipsoid längs B = konst. berührt, folgt eine Translation des Erdsystems entlang der Polachse Z, so dass

$$X_P = X \quad X = X_P \quad (3)$$

$$Y_P = Y, \quad Y = Y_P$$

$$Z_P = Z + R e^2 \sin B \quad Z = Z_P - R e^2 \sin B$$

(Beim Übergang auf Kugelkoordinaten ist zu beachten, dass B, R und H lediglich im Berührungskegel den ellipsoidischen Elementen entsprechen und dass die Kugelhöhen: H = (X² + Y² + Z²)^{1/2} – R nur vom Kugelzentrum und dem Festradius R abhängen.)

Die Achsen bleiben parallel, die Äquatorebene X_P, Y_P ist um R e² sin B versetzt (Abb. 1, 2).

1.2 Rotationen in den Horizont mit Anschmiebung

Die Transformation geozentrischer Erdkoordinaten in den Projektionshorizont P₀ (B, L, R) ergibt sich als Rotation von X_P nach L um Z und um Y_{BL} mit B nach P₀ (Abb. 2).

$$\begin{aligned} \begin{bmatrix} X_{BL} \\ Y_{BL} \\ Z_{BL} \end{bmatrix} &= \begin{vmatrix} \cos B & \sin B & | & \cos L & \sin L & | & | X \\ \cdot & 1 & | & -\sin L & \cos L & | & | Y \\ -\sin B & \cos B & | & \cdot & \cdot & | & | Z_P \end{vmatrix} \\ &= \begin{vmatrix} \cos B \cos L & \cos B \sin L & \sin B & | & X \\ -\sin L & \cos L & \cdot & | & Y \\ -\sin B \cos L & -\sin B \sin L & \cos B & | & Z_P \end{vmatrix} \end{aligned} \quad (4)$$

und die Umkehrung wegen Orthogonalität durch Transponierung

$$\begin{aligned} \begin{bmatrix} X \\ Y \\ Z_P \end{bmatrix} &= \begin{vmatrix} \cos B \cos L & -\sin L & -\sin B \cos L & | & X_{BL} \\ \cos B \sin L & \cos L & -\sin B \sin L & | & Y_{BL} \\ \sin B & \cdot & \cos B & | & Z_{BL} \end{vmatrix} \end{aligned} \quad (5)$$

Ist

dh Geoidundulation in P₀,

R_P = R + dh – dx der lokalen Krümmung angepasste Projektionsradius und

dx = R – R_P + dh die Verschiebung seines Angriffs in Richtung P₀,

folgen ferner die Translationen:

X_{BLr} = X_{BL} – dx bezüglich (4) und

X_{BL} = X_{BLr} + dx bezüglich (5).

Wenn R gemäss (2) und

$$M = \frac{a (1 - e^2)}{(1 - e^2 \sin^2 B)^{3/2}}$$

als Meridiankrümmungsradius gesetzt wird, dann gilt für den Radius der Gauss'schen Schmiebung:

$$R_P = \sqrt{MR}, \quad dx = R - R_P.$$

Bei sehr langen Anlagen in Richtung α empfiehlt sich der Krümmungsangleich nach Euler:

$$R_P = \left(\frac{\cos^2 \alpha}{M} + \frac{\sin^2 \alpha}{R} \right)^{-1}, \quad dx = R - R_P.$$

Sind jedoch genügend orthometrische Höhen H_o bekannt, dann liefert die Bedingung:

Partie rédactionnelle

$v^T P_v$ = Minimum mit den horizontbezogenen Fehlergleichungen

$$v_i = X_i(R_o + H_i)^{-1} \cdot dx - dh + (X_i^2 + Y_i^2 + Z_i^2)^{1/2} - R_o - H_{oi}$$

eine Annäherung des geometrischen Systems an die physikalischen Gegebenheiten, bei grösseren Operaten durch Minimierung der Geoidundulationen.

Bei $dh \neq 0$ resultiert eine Horizontversetzung.

Mit $dx = R - R_p + dh$ folgen aus (4) und (3) unter Einhaltung der Kongruenz die **direkten Transformationen in den Horizont P_o (B, L, R)**

$$X_{BLr} = X \cos B \cos L + Y \cos B \sin L + (Z + R e^2 \sin B) \sin B - dx$$

$$Y_{BL} = -X \sin L + Y \cos L \quad (6)$$

$$Z_{BL} = -X \sin B \cos L - Y \sin B \sin L + (Z + R e^2 \sin B) \cos B$$

Für deren Umkehrung aus (5) und (3) gilt entsprechend

$$X = (X_{BLr} + dx) \cos B \cos L - Y_{BL} \sin L - Z_{BL} \sin B \cos L$$

$$Y = (X_{BLr} + dx) \cos B \sin L + Y_{BL} \cos L - Z_{BL} \sin B \sin L \quad (7)$$

$$Z = (X_{BLr} + dx) \sin B - R e^2 \sin B + Z_{BL} \cos B$$

Im horizontbezogenen System liegen die pos. X_{BLr} -Achse:

Kugelzentrum – Projektionsursprung

pos. Y_{BL} -Achse:

Kugelzentrum – $L + 90^\circ$ parallel zum Äquator

pos. Z_{BL} -Achse:

Kugelzentrum – $B + 90^\circ$ im Meridian mit X_{BLr} (Abb. 2, 3).

1.3 Übergang auf projektionsbezogene Kugelkoordinaten

Bindet im Horizontsystem X_{BLr} , Y_{BL} die Pseudoäquatorebene und spannen Z_{BL} , X_{BL} die Ebene des Nullmeridians auf, gehen in Analogie zum geographischen Erdsystem aus

$$X_{BLr} = (R_p + H) \cos b \cos l$$

$$Y_{BL} = (R_p + H) \cos b \sin l \quad (8)$$

$$Z_{BL} = (R_p + H) \sin b$$

die Pseudolänge:

$$l = \operatorname{arctg} \frac{Y_{BL}}{X_{BLr}}$$

die Pseudobreite:

$$b = \operatorname{arctg} \frac{Z_{BL} \cdot \cos l}{X_{BLr}} \quad \operatorname{arctg} \frac{Z_{BL}}{(X_{BLr}^2 + Y_{BL}^2)^{1/2}} \quad (9)$$

und die Kugelhöhe:

$$H = (X_{BLr}^2 + Y_{BL}^2 + Z_{BL}^2)^{1/2} - R_p$$

$$= \frac{X_{BLr}}{\cos b \cos l} - R_p$$

als Kugelkoordinaten hervor. Dabei sei festgehalten, dass einzig der Nullmeridian die Erdpolachse enthält, während alle an-

deren Pseudomeridiane die Nordweisung verlieren. Die Elemente l , b , H , R_p stehen nur über (8) und (7) mit dem globalen Erdsystem und nur über (8), (7) und (2) mit dem Ellipsoid in Beziehung. Für $R_p \neq R$ wird das Ellipsoid nur noch in P_o berührt und mit $dh \neq 0$ höchstens noch geschnitten.

Damit wären die kongruenten Zusammenhänge zur Einführung lokaler und topozentrischer, rechtwinkliger Projektionskoordinaten gegeben. Dabei wurde die Kugel nicht nur der Einfachheit halber, sondern aus Konsequenz anderen Bezugsflächen vorgezogen.

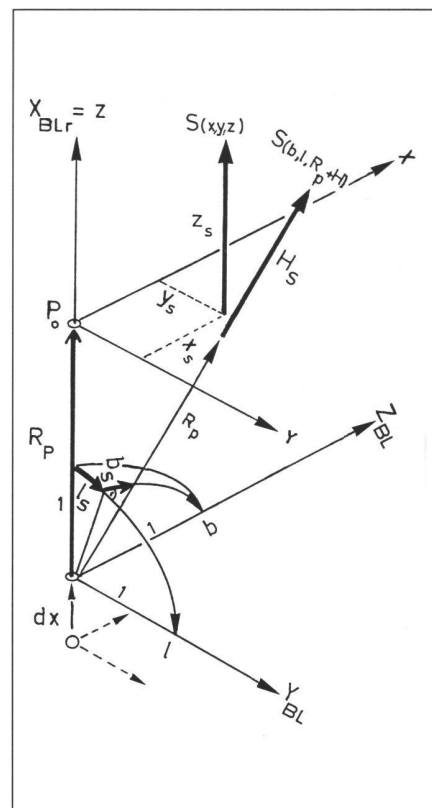


Abb. 3: Topozentrisches Projektionsystem – (x, y, z) im Horizontsystem – (X_{BLr} , Y_{BL} , Z_{BL}): $R_p = R + dh - dx$, mit projektionsbezogenen Kugelkoordinaten – (b, l, $R_p + H$)

resultiert die Umkehrung.

Für eine transversale Mercator-Projektion mit streckentreuer Abbildung entlang des Meridians, sind in (8) die Ausdrücke für Y und Z , in (9) Y mit Z , in (10) und (11) x mit y zu vertauschen.

Während die Konformität der Mercator-ebene hinreichend bekannt ist, geht sie im Raum aus der nachstehenden Abb. 4 un-

$$x = R \int_0^b \frac{1}{\cos b} db = \frac{R}{2} \ln \frac{1 + \sin b}{1 - \sin b} = R \cdot b \left(1 + \frac{b^2}{6} + \frac{b^4}{24} + \dots \right) \quad (10)$$

$$y = R \int_0^l dl = R \cdot l$$

$$z = R \int_0^H \frac{1}{R + H} dH = R \cdot \ln \frac{R + H}{R} = H - \frac{H^2}{2R} + \frac{H^3}{3R^2} - \dots$$

wobei die Reihenentwicklungen der Einhaltung numerischer Rechenschärfe dienen. Aus den inversen Funktionen

$$b = \operatorname{arcsin} \frac{e^{2xR^{-1}} - 1}{e^{2xR^{-1}} + 1}$$

$$= xR^{-1} \left(1 - \frac{x^2}{6R^2} + \frac{x^4}{24R^4} - \dots \right)$$

$$l = yR^{-1} \quad (11)$$

$$H = R e^{zR^{-1}} - R = z + \frac{z^2}{2R} + \frac{z^3}{6R^2} + \dots$$

mittelbar hervor. Sektoriell gekrümmte Abschnitte des polaren Systems werden im projektiven Raum als Rechtecke abgebildet. Diese Erweiterung auf die dritte Dimension ist mit obigen Reduktionen der Vertikalen auch auf andere Projektionen der Kugel anwendbar.

Die elementaren Reduktionen gemessener Richtungen, Winkel, Distanzen, Koordinatendifferenzen – mit ihren Umkehrungen – wurden unter Anlehnung an [2] in [1] hergeleitet, und die Reduktion geozentrischer Satellitenbestimmungen sind mit (6), (9) und (10) gegeben.

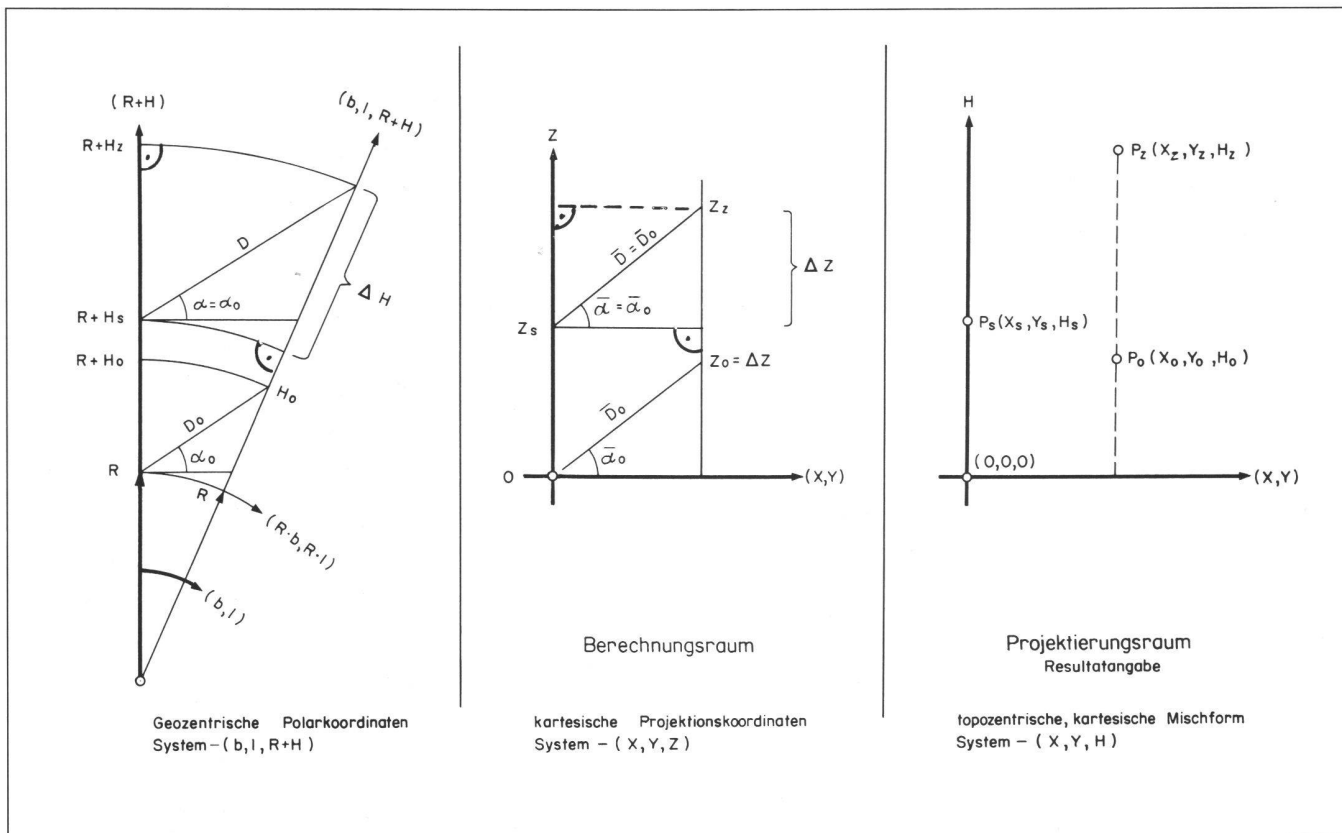


Abb. 4: Koordinatensysteme im Aufriss

3. Beobachtungssysteme und Fehlergleichungen

Wird in einer Netzberechnung für jede Station S zu den Zielen Z ein eigenes System $\bar{x}, \bar{y}, \bar{z}$ angenommen, dessen Achsen durch das Schwerefeld und die Nordrichtung genähert orientiert wurden (Abb. 5), gestat-

tet der projektive Raum den nachstehenden Übergang auf elementare kartesische Behandlung. Durch Berücksichtigung jeweiliger Orientierungs- und Dehnungsparameter entfällt die eingangs und nur der Form halber erwähnte affine Transformation geozentrisch bezogener Bestimmungen auf ein vorgegebenes geodätisches

Datum, wenn für Satellitenortungen **Koordinatendifferenzen** in Rechnung stehen, (s. Tabelle).

4. Einschränkung und Kritik des projektiven Vorgehens

4.1 Beschränkungen wegen Verzerrungen

Setzt man die Gewähr für Verbesserungen ausgeglichener Messdaten mit 3 Stellen bewusst höher an als erforderlich, dann schränken die Projektionsgleichungen (10) und (11) die Anwendbarkeit mit $6 \cdot 10^{-4}$ wegen veränderter Geometrie in \bar{x} auf ± 220 km und in H auf 8000 m.ü.M ein.

4.2 Höhenklaffung infolge veränderter Bezugsfäche

In den Randzonen betragen die Unterschiede zum Ellipsoidhorizont:
bei Gauss'scher Schmiegung

Operatsausdehnung:

100 km x 100 km

Klaffung:

0.3 m

200 km x 200 km

1.3 m

400 km x 400 km

5 m

bei Krümmungsangleich nach Euler

Operatsausdehnung:

300 km x 50 km

Klaffung:

0.165 m

500 km x 100 km

0.7 m

800 km x 200 km

2.6 m

wobei der Projektionsursprung im Zentrum vorausgesetzt wurde. Diese Betrach-

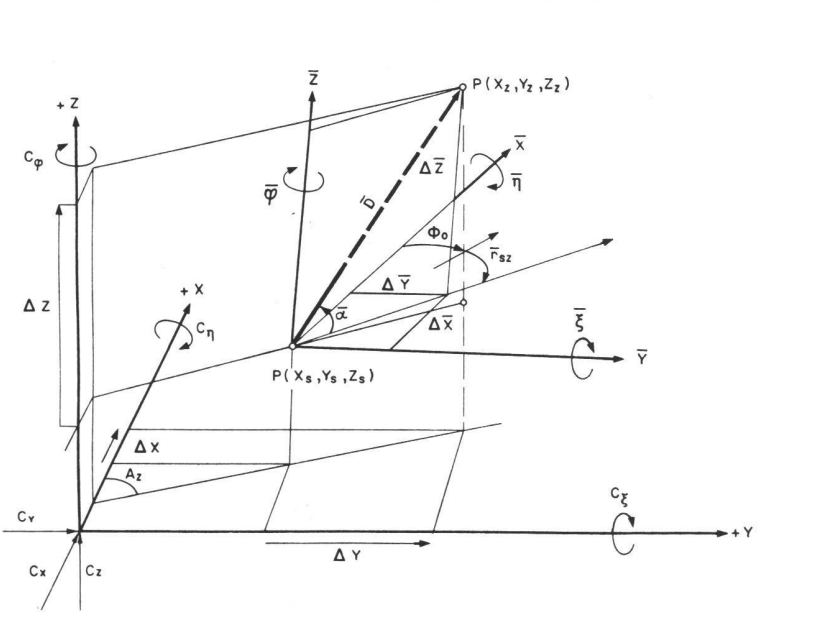


Abb. 5: Orthogonales Messsystem - $(\bar{x}, \bar{y}, \bar{z})$ der Station S zum Ziel Z im kartesischen Projektionsraum - (x, y, z)

Partie rédactionnelle

TABELLE

: Koeffizienten vollständiger Fehlergleichungssysteme im kartesischen Projektionsraum

| Bildvektor x^T | = | x_Z | y_Z | z_Z | x_S | y_S | z_S | η_Z | ξ_Z | φ_Z | η_S | ξ_S | φ_S | $\bar{\eta}$ | $\bar{\xi}$ | $\bar{\varphi}$ | m_D | \bar{m} | |
|--|---|--|---------------------------------------|----------------------|---------------------------------------|---------------------------------------|-----------------------|------------------------|------------------------|-------------|---------------------------------|---------------------------------|-------------|--------------------|-------------------|--------------------|--------------------|--------------------|---|
| $F(x_0)$: | | | | | | | | | | | | | | | | | | | |
| $k \operatorname{arctg} \frac{\Delta Y_0}{\Delta X_0} - \Phi_0$ | | $-k \frac{\Delta Y}{L^2}$ | $k \frac{\Delta X}{L^2}$ | • | $k \frac{\Delta Y}{L^2}$ | $-k \frac{\Delta X}{L^2}$ | • | • | • | • | $\frac{\Delta x \Delta Z}{L^2}$ | $\frac{\Delta y \Delta Z}{L^2}$ | -1 | • | • | • | • | • | |
| $k \operatorname{arctg} \frac{\Delta Z_0}{\sqrt{\Delta X_0^2 + \Delta Y_0^2}}$ | | $-k \frac{\Delta X \Delta Z}{L^2 D^2}$ | $k \frac{\Delta Y \Delta Z}{L^2 D^2}$ | $k \frac{L}{D^2}$ | $k \frac{\Delta X \Delta Z}{L^2 D^2}$ | $k \frac{\Delta Y \Delta Z}{L^2 D^2}$ | $-k \frac{L}{D^2}$ | • | • | • | $\frac{\Delta Y}{L}$ | $\frac{\Delta X}{L}$ | • | • | • | • | • | • | |
| $\sqrt{\Delta X_0^2 + \Delta Y_0^2 + \Delta Z_0^2}$ | | $\frac{\Delta X}{D}$ | $\frac{\Delta Y}{D}$ | $\frac{\Delta Z}{D}$ | $-\frac{\Delta X}{D}$ | $-\frac{\Delta Y}{D}$ | $-\frac{\Delta Z}{D}$ | • | • | • | • | • | • | • | • | $-b^{-1} \cdot D$ | • | • | |
| $\Delta X_0 = x_0 Z - x_0 S$ | | 1 | • | • | -1 | • | • | • | • | • | • | • | • | $-k^{-1} \Delta Z$ | $k^{-1} \Delta Y$ | • | $-b^{-1} \Delta X$ | • | • |
| $\Delta Y_0 = y_0 Z - y_0 S$ | | • | 1 | • | • | -1 | • | • | • | • | • | • | • | $-k^{-1} \Delta Z$ | • | $-k^{-1} \Delta X$ | • | $-b^{-1} \Delta Y$ | • |
| $\Delta Z_0 = z_0 Z - z_0 S$ | | • | • | 1 | • | • | -1 | • | • | • | • | • | • | $k^{-1} \Delta Y$ | $k^{-1} \Delta X$ | • | • | $-b^{-1} \Delta Z$ | • |
| $\Delta \eta_0 = \eta_0 Z - \eta_0 S = 0$ | | • | • | • | • | • | • | 1 | • | • | -1 | • | • | • | • | • | • | • | • |
| $\Delta \xi_0 = \xi_0 Z - \xi_0 S = 0$ | | • | • | • | • | • | • | • | 1 | • | • | • | • | • | • | • | • | • | • |
| $\Delta(\eta, \xi)_0 = 0$ | | • | • | • | • | • | • | - $\frac{\Delta Y}{L}$ | - $\frac{\Delta X}{L}$ | • | $\frac{\Delta Y}{L}$ | $\frac{\Delta X}{L}$ | • | • | • | • | • | • | • |
| $\Delta \varphi_0 = \varphi_0 Z - \varphi_0 S = 0$ | | • | • | • | • | • | • | • | • | 1 | • | • | -1 | • | • | • | • | • | • |
| $\Delta m = m_D - \bar{m} = 0$ | | • | • | • | • | • | • | • | • | • | • | • | • | • | • | 1 | -1 | • | • |

Darin bedeutet: $D = \sqrt{\Delta X^2 + \Delta Y^2 + \Delta Z^2}$, $L = \sqrt{\Delta X^2 + \Delta Y^2}$, b : Bezugseinheit, k : Winkelmaßkonstante, $\Delta Z_0^* = Z_0 Z - Z_0 S + \eta_0 Z - \xi_0 S$ (sofern unterschiedliche Signal- u. Instrumentenhöhen $\eta_0 Z$ - $\xi_0 S$ zu berücksichtigen sind).

Stark umrandete Koeffizienten verschwinden bei flachen Netzen wegen $\Delta Z = 0$

tung ist jedoch relativ und als Beschränkung von untergeordneter Bedeutung; denn ellipsoidische Höhen sind ebenfalls geometrischer Art, wobei Geoidundulationen im 10 m-Bereich hingenommen werden müssen.

4.3 Vorteile bezüglich den globalen Ansätzen

Bei Operaten innerhalb 200 – 300 km vom Projektionszentrum bietet die projektive Behandlung jedoch wesentliche und entscheidende Vorteile:

– Gerechnet wird in einem generalisierten Horizontsystem. Der Grundriss entspricht einer Landkarte im Massstab 1:1. Die kartesische Berechnung wie die Re-

sultatangabe wird somit transparent und ist dem Laien zugänglich.

- Reduktionen beziehen sich auf Kugelbögen und bedürfen weder geodätischer Linien noch windschiefer Normalen.
- Die Fehlergleichungen sind von bestehend einfacher Form, ohne Einbusse an geometrischer Strenge.
- Näherungskoordinaten können bestehenden Vermessungswerken unmittelbar entnommen werden.
- Resultate lassen sich dank ein und derselben Koeffizientenmatrix ins globale Erdsystem elementar zurückführen und danach beliebig umbilden.
- Bei sehr flacher Netzkonfiguration, wenn $\Delta z \sim 0$, ist eine unkorrelierte Trennung in Lage- und Höhenrechnung möglich.

– Wird mit «freiem Netz» operiert, lässt dieses Vorgehen eine Annäherung ans örtliche Geoid zu und steht weder unter Servitut überholter noch ständig veränderter geodätischer Grunddaten.

Literatur:

- [1] Gerber D.E. Peter: Diss. Nr. 5722, ETH, Zürich 76/77, Korrigenda 7.79.
- [2] Grossmann W.: «Geod. Berechnungen und Abbildungen», Konrad Wittwer-Verlag, Stuttgart 1964.

Adresse des Verfassers:

Peter Gerber
Stockstrasse 9, CH-9444 Diepoldsau